



## سنگ‌شناسی و شیمی‌سنگ کل آمفیبولیت‌های مجموعه برافزایشی مکران، جنوب شرق ایران

مریم سوری<sup>۱</sup>، احمد احمدی خلجمی<sup>۱\*</sup>، محمد ابراهیمی<sup>۲</sup>، رسول اسماعیلی<sup>۲</sup>

۱- گروه زمین‌شناسی، دانشکده علوم پایه، دانشگاه لرستان، خرم‌آباد، ایران

۲- گروه زمین‌شناسی، دانشکده علوم پایه، دانشگاه زنجان، زنجان، ایران

(دریافت مقاله: ۱۴۰۱/۲/۴، نسخه نهایی: ۱۴۰۱/۵/۲۴)

**چکیده:** آمفیبولیت‌های مکران در موقعیت‌های مختلف کمرنگ‌افیولیتی مکران شمالی رخمنون دارند. براساس بررسی‌های سنگ‌شناسی و کانی‌شناسی، سنگ‌های این منطقه شامل آمفیبولیت معمولی (جهت یافته و توده‌ای)، گارنت-پیروکسن آمفیبولیت، اپیدوت-گارنت آمفیبولیت و مرمر هستند. کانی‌های آمفیبولیت‌های معمولی (جهت یافته و توده‌ای) شامل آمفیبول، پلازیوکلاز، آپاتیت، زیرکن، کوارتز و اسفن هستند. افزون بر این کانی‌ها، در گارنت-پیروکسن آمفیبولیت‌ها، گارنت و پیروکسن و در اپیدوت-گارنت آمفیبولیت‌ها، اپیدوت، گارنت و پیروکسن نیز دیده می‌شود. مرمرها نیز دارای کلسیت با رخ مشخص، کوارتز و آمفیبول هستند. زمین شیمی آمفیبولیت‌ها نشان می‌دهد که این سنگ‌ها دارای خاستگاه آذربین با سنگ مادر بازالتی هستند که از یک گوشه‌غیری شده شکل گرفته‌اند. همچنین نمونه‌های مورد بررسی در گستره سری تولیکی تا انتقالی قرار دارند و براساس نمودارهای تغییرات عناصر خاکی نادر بهنجار شده به کندریت و بازالت پشت‌های میان اقیانوسی نوع مورب عادی (N-MORB) دارای الگوهای به نسبت شبیه بوده و از نظر ویژگی‌های زمین شیمیایی، مشابه بازالت‌های مورب و درون صفحه اقیانوسی هستند.

**واژه‌های کلیدی:** سنگ‌شناسی؛ شیمی‌سنگ کل؛ آمفیبولیت؛ گوشه‌غیری غنی شده؛ مکران.

با ۵ تا ۲۰٪ کوارتز آمفیبولیت و انواع با بیش از ۲۰٪ هورنبلند گنیس نامیده می‌شوند. براساس تقسیم‌بندی دیگری، آمفیبولیت باید در بردارنده ۷۰٪ هورنبلند باشد و سنگ‌های دارای مقدار هورنبلند بیشتر هورنبلندیت نامیده می‌شوند [۳]. همچنین آمفیبولیت‌ها را می‌توان براساس سنگ مادر به دو گروه پارآمفیبولیت و ارتواآمفیبولیت تقسیم کرد. سنگ مادر پارآمفیبولیت‌ها روسوبی و سنگ مادر ارتواآمفیبولیت‌ها آذربین مافیک و به طور دقیق بیشتر بازالت‌ها و کمتر گابروها هستند [۴]. بررسی آمفیبولیت‌ها به ویژه ارتواآمفیبولیت‌ها از دیربارز مورد توجه پژوهشگران بوده است. بررسی زمین‌شیمی عناصر اصلی و کمیاب موجود در ترکیب سنگ کل آمفیبولیت‌ها می‌تواند اطلاعات زیادی را برای بازسازی محیط زمین‌ساختی تشکیل سنگ اولیه و دگرگونی‌های مانگمازی به دست دهد. البته با توجه به اثر پدیده دگرگونی بر غلضت عناصر مختلف،

### مقدمه

بر اساس نامگذاری سنگ‌های دگرگونی توسط انجمن جهانی علوم زمین‌شناسی IUGS [۱]، آمفیبولیت یک سنگ دگرگونی و بیشتر در بردارنده پلازیوکلاز و هورنبلند است و می‌تواند دارای مقادیر فرعی از کانی‌های دیگر همچون گارنت و پیروکسن باشد. از نظر پژوهشگران نیز، آمفیبولیت یک سنگ دگرگونی است که بیشتر حجم آن را پلازیوکلاز و هورنبلند تشکیل می‌دهد؛ البته، در مورد اینکه مقدار این دو کانی و یا کانی‌های دیگر باید در ترکیب یک آمفیبولیت تا چه اندازه باشد نظرها متفاوت است. یکی از تقسیم‌بندی‌ها برپایه وجود کانی کوارتز است [۲] که بر این اساس، آمفیبولیت به عنوان سنگی شامل پلازیوکلاز و آمفیبول توصیف شده که کوارتز در آن به صورت فرعی دیده می‌شود. بر اساس این تقسیم‌بندی، آنها آمفیبولیت‌های با کمتر از ۵٪ کوارتز آمفیبولیت کوارتزدار، انواع

\*نویسنده مسئول، تلفن: ۰۶۴۳۱۲۰۶۱۹، پست الکترونیکی: ahmadikhajalj.a@lu.ac.ir

(شکل ۱). سامانه فرورانشی/برافراشی مکران در ایران از شمال به جنوب ۱) کمان آتشفشاری بزمان- تفتان و گودال پیش کمان جازموریان، ۲) گوه راندگی رخمنون یافته در خشکی و ۳) بخش دریایی که گوه فرآینده فعل امروزی است را شامل می‌شود. بخش خشکی مکران ایران به چهار قسمت اصلی تقسیم می‌شود که از شمال به جنوب شامل مکران شمالی، مکران درونی، مکران بیرونی و مکران ساحلی است [۹] (شکل ۱). سه پهنه اصلی در مکران شمالی وجود دارد [۱۰] که از جنوب به شمال شامل ۱) مجموعه برافراشی برآمده از فرورانش سنگ کره اقیانوسی هند به زیر قطعه لوت، ۲) فروافتادگی جازموریان که به عنوان یک حوضه‌ی پشت قوس مژوزوئیک و پرشده با رسوب‌ها، در نظر گرفته شده است [۱۱] و ۳) سنگ‌های آتشفشاری و نفوذی کرتاسه‌ی پسین-سنوزوئیک با ترکیب آندزیتی تا ریولیتی که بیانگر فعالیت ماقمایی در ارتباط با سامانه فرورانشی مکران است. این مجموعه پیوسته را می‌توان به دو بخش اصلی شامل قطعه‌های رسوبی و آمیزه افیولیتی، تقسیم نمود. قطعه‌های رسوبی این پهنه نیز دارای آهک‌ها و توربیدایت‌های فلیشی تریاس تا پلیوسن [۸، ۱۲]، تبخیری‌ها، سنگ آهک ریفی، گلسنگ ژیپسی، ماسه‌سنگ‌ها و کنگلومراهای دلتایی هستند. توالی رسوبی از مکران درونی بیشترین پوشش در مجموعه برافراشی مکران را شکل داده و بیانگر رشد جنوبی این مجموعه برافراشی سنوزوئیک است. آمیزه‌های افیولیتی در مجموعه برافراشی مکران فراوان هستند که به وسیله‌ی مجموعه باجگان-دورگان تقسیم می‌شوند. این آمیزه‌های افیولیتی شامل آمیزه‌های افیولیتی مکران جنوبی ژوراسیک-پالئوسن پیشین و آمیزه‌های افیولیتی مکران شمالی پرمین-کرتاسه از جمله توده‌ی کهنه‌ج هستند [۱۰، ۱۳]. منطقه مورد نظر در پهنه مکران (مکران شمالی) واقع است. این منطقه به طور گسترده‌ای در نقشه‌های (Fνοج و میناب قرار دارد. از این رو، مکران شمالی را می‌توان به چهار واحد توزیع شده ناهموار تقسیم نمود که همه با رخمنون‌های پراکنده توربیدایت‌های آواری دوره ائوسن-الیگوسن پیشرونده پوشیده شده‌اند که نشان می‌دهد که این منطقه از اوایل سنوزوئیک فرونشست مداوم داشته است. این چهار واحد اصلی از شمال به جنوب به شرح زیر هستند؛ (۱) نخستین واحد یک مجموعه افیولیتی و کامل (Fνوج- مسکوتان) از سنگ‌های مافیک و فرامافیک مربوط به پوسته بالایی و

زمین‌شیمی سنگ کل باید با دقت بیشتری بررسی شود. بررسی‌های مختلف نشان می‌دهد که از میان عناصر اصلی، عناصر Na و K، Ca طی دگرگونی در شرایط رخساره‌ی شیست سبز و آمفیبولیت آمادگی تحرك را دارند، در حالی که عناصر Al, Mn, Ti و P تقریباً به صورت غیر متحرک باقی می‌مانند [۵]. همچنین عناصر Si, Mg و Fe بیشتر در سامانه‌ی گرمابی با نسبت بالای سنگ/سیال تحرك دارند [۶]. از میان عناصر فرعی و کمیاب، عناصر سنگ دوست یون بزرگ (Sr, Ba, Rb و LILE) طی دگرگونی متحرک بوده در Nb, Ti, HFSE‌ها شامل (Hf, Y, Ta, Zr, Th) و برخی از فلزهای واسط چون Cr و V تقریباً غیر متحرک هستند [۵]. به طور کلی، برای بررسی زمین‌شیمی‌ی سنگ‌های دگرگونی در رخساره‌ی شیست سبز و آمفیبولیت بهتر است از عناصر غیرمتحرک چون Ti و P، عناصر کمیاب Cr, Ta, Y, Zr و Nb و عناصر خاکی نادر (REE) استفاده نمود. البته، استفاده از سایر عناصر نیز در بررسی زمین‌شیمی‌ی آمفیبولیت‌ها معمول است.

در سرتاسر پهنه مکران، گسل‌ها و رواندگی‌هایی با روند شرقی- غربی وجود دارند که گسل بشاگرد از مهم‌ترین آنهاست. در شمال گسل بشاگرد، مجموعه‌های افیولیتی مختلف از جمله گنج، رمشک- مختارآباد، بند زیارت، تیدار، باجگان- دورگان و مسکوتان، برخی با توالی کاملی از افیولیت‌های کمتر دگرگون شده بروند دارند [۷]. آمفیبولیت‌ها رخمنونی با حدود ۴ کیلومتر طول و ۱ کیلومتر عرض دارند. پیرامون این آمفیبولیت‌ها، پژوهش‌های انجام شده و بیشتر بررسی‌های انجام گرفته در این منطقه بر افیولیت‌های مکران بوده است. تنها پژوهش انجام شده بر آمفیبولیت‌های منطقه سن سنجی توده-های آمفیبولیت با روش U-Pb زیرکن‌ها بوده است [۸]. از این رو، در این پژوهش، آمفیبولیت‌های رخمنون یافته در مجموعه آمیزه‌های افیولیتی گوه برافراشی مکران بررسی شده‌اند که براساس نمونه‌برداری‌های صحرایی، روابط بافتی و کانی‌شناسی و شیمی‌سنگ کل، شرایط تشکیل و محیط زمین‌ساختی سنگ مادر این سنگ‌ها شناسایی گردید.

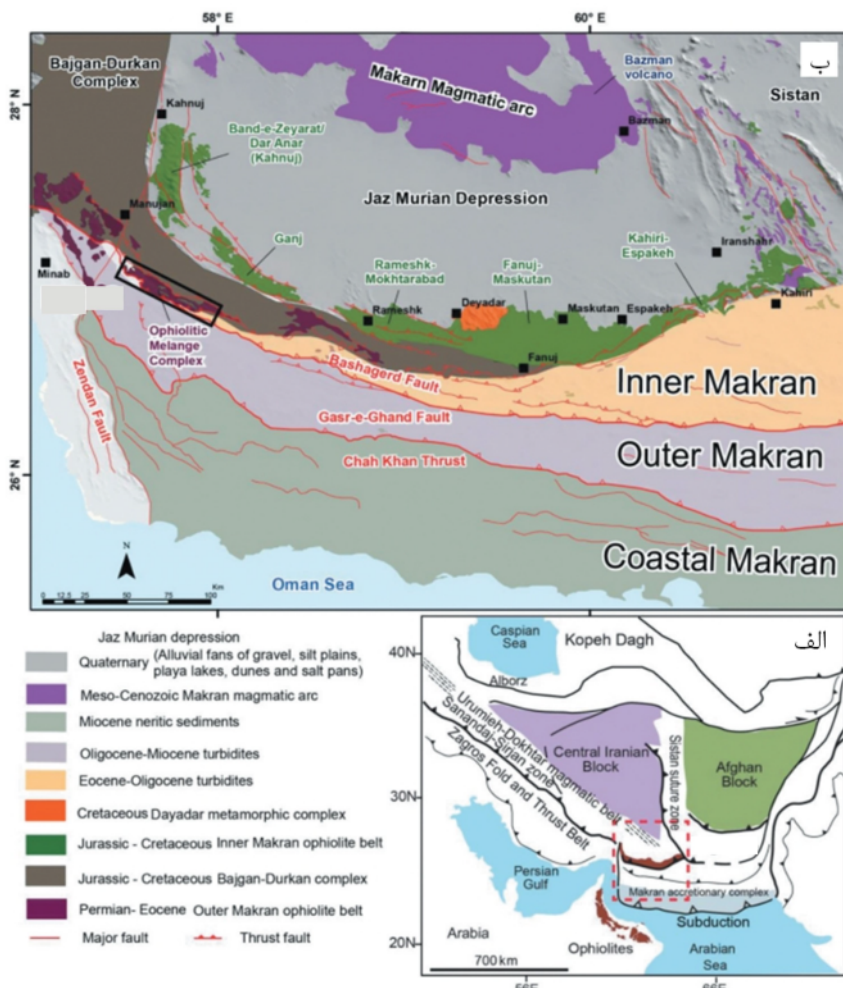
#### زمین‌شناسی عمومی

منطقه مورد بررسی از نظر موقعیت جغرافیایی در مکران شمالی و از نظر تقسیم‌های ساختاری در پهنه مکران قرار دارد [۸]

سنگ‌های افیولیتی از یک حوضه‌ی اقیانوسی جنوبی و کمان آتشفشاری کرتاسه است. محور گسل رانشی بشاگرد این ناحیه همپوششی مایل به جنوب را تکمیل و مرز ساختاری پایین مکران شمالی را رسم می‌کند [۱۸].

بیشتر قطعه‌های پوسته اقیانوسی وابسته به نئوتیس رخمنون یافته در مکران شامل گدازه‌های بالشتی کرتاسه پیشین، توفهای آندریتی کرتاسه پسین، آندزیت‌ها، شیشه آواری‌ها، ریوداسیت‌ها، توفهای، بلوشیست‌ها، آمفیبولیت‌ها، سرپنتینیت‌ها، رادیولاریت‌ها کرتاسه‌ی پیشین-پسین، سنگ آهک‌های لجه‌ای تا ریفی و ماسه سنگ‌های توربیدیاتی به طور گسترده رخمنون دارند. آمفیبولیت‌ها به صورت عدسی‌هایی به طور ناپیوسته در مرزهای روراندگی با دیگر بخش‌های افیولیتی رخمنون دارند [۸، ۱۲] که در اینجا بررسی می‌شوند.

بازالت‌های بالشتی N-MORB است که با سنگ آهک‌های دریابی عمیق کرتاسه، رادیولاریت و توربیدیات‌های آواری پوشیده می‌شوند [۱۴]. این توالی افیولیتی فرسایش یافته و ناپیوسته با رسوب‌ها و گدازه‌های آبی-کم عمق کرتاسه‌ی پیشین-پالئوسن پوشیده می‌شود. ویژگی‌های زمین شیمیایی آنها بیانگر یک محیط فرافورانشی است [۱۵]. ۲) یک توالی افیولیتی دیگر مجموعه افیولیتی رمشک-مخtarآباد بوده که در آن، پوسته نفوذی غالب تروکتولیت و پوسته آتشفشاری بیشتر دیاباز می‌باشد. این توالی به دلیل فرسایش پیش از رسوبگذاری ناپیوسته‌ی رسوب‌های لجه‌ای کرتاسه‌ی پیشین-پایانی، نازک‌تر از افیولیت‌های کامل در شمال است [۱۶]. ۳) واحد بعدی مجموعه آبی پرمین و ژوراسیک است [۱۷]. ۴- پهنه آخر کم عمق-آبی پرمین و ژوراسیک است [۱۷]. ۵) پهنه آخر شامل قطعه‌های زمین‌ساختی سنگ‌های مختلف از جمله



شکل ۱ الف) نقشه‌ی زمین‌ساختی ایران با تاکید بر واحدهای زمین‌ساختی ماغماگی، ب) موقعیت کلی و ساده شده‌ای از واحدهای ساختاری سنگ زمین‌ساختی منشور برافراشی مکران [۸].

به شرکت زرآزمای تهران ارسال گردید. عناصر اصلی به روش طیف‌سنجی فلئورسانس پرتوی X (XRF) و عناصر فرعی و کمیاب به روش طیف‌سنجی جرمی پلاسمای ICP-MS (ICP-MS) تعیین شدند. حد آشکارسازی عناصر اصلی ۰/۰۵ درصد و عناصر کمیاب ۰/۰۱ تا ۱ قسمت در میلیون است (جدول ۱).

### روش پژوهش

در این پژوهش، پس از بررسی‌های کتابخانه‌ای، بررسی‌های صحرایی برای شناسایی واحدهای سنگی و نمونه‌برداری از مجموعه آمفیبولیتی رخمنون یافته پیرامون منطقه مورد نظر انجام شد. سپس با تهیه مقاطع نازک و بررسی آنها، تعداد ۱۴ نمونه سالم و با کمترین هوازدگی برای تعیین شیمی سنگ کل

**جدول ۱** نتایج تجزیه شیمی سنگ کل آمفیبولیت‌های مورد بررسی. اکسیدهای عناصر اصلی بر حسب درصد وزنی و عناصر فرعی و کمیاب بر حسب ppm هستند.

نمونه	R3	R5	R6	R8	R14	R15	R17-B	R18	R20	R28	R33	R38	R43	R45
SiO <sub>2</sub>	۴۵.۲۲	۴۵.۸۸	۴۶.۰	۴۷.۷۱	۵۰.۹۲	۵۰.۰۸	۴۹.۰۶	۴۷.۷۹	۴۸.۹۶	۴۵.۱	۴۸.۱۷	۴۵.۹۶	۴۵.۱۸	۴۹.۱۵
TiO <sub>2</sub>	۲.۵۱	۱.۹۶	۱.۸۳	۲.۰۳	۰.۶۹	۱.۰۷	۱.۴۶	۱.۶۵	۱.۵۴	۴.۸۹	۱.۸۸	۲.۲۰	۰.۹۲	۱.۶۵
Al <sub>2</sub> O <sub>3</sub>	۱۵.۳۷	۱۲.۹۶	۱۳.۴۹	۱۴.۲۳	۱۶.۶۵	۱۶.۱۴	۱۶.۶۶	۱۵.۴۶	۱۳.۱۷	۱۴.۶۶	۱۵.۸	۱۵.۷۹	۱۴.۴۳	۱۶.۲۸
Fe <sub>2</sub> O <sub>3</sub> *	۱۵.۷۴	۱۰.۱۳	۹.۵۲	۱۳.۴۲	۷.۴۵	۵.۹۹	۹.۹۲	۹.۸	۹.۵۴	۱۶.۴۵	۱۱.۷	۱۲.۰۶	۸.۵۷	۹.۴۱
MgO	۷.۲۲	۳.۱۳	۲.۳۹	۹.۱۴	۷.۵۳	۹.۳۳	۳.۰۱	۲.۲۱	۲.۶۲	۵.۷۶	۸.۷۴	۸.۸۶	۸.۲۱	۳.۹۸
MnO	۰.۲۲	۰.۱۷	۰.۱۵	۰.۱۸	۰.۱۳	۰.۱۲	۰.۱۹	۰.۱۹	۰.۱۷	۰.۲۲	۰.۱۷	۰.۱۶	۰.۱۷	۰.۱۶
CaO	۶.۵۹	۲۰.۴۲	۱۹.۵۴	۷.۵۶	۸.۰۹	۸.۳۴	۱۴.۱۶	۱۶.۴۲	۱۶.۶۲	۷.۲۳	۷.۸۱	۹.۴۴	۱۸.۷۲	۹.۰۲
Na <sub>2</sub> O	۳.۰۷	۲.۹۵	۳.۲۸	۳.۱۰	۴.۸۷	۱.۳۶	۱.۹۵	۳.۹۷	۳.۹۶	۳.۳۷	۳.۴۷	۲.۲۹	۱.۰۷	۴.۴۲
K <sub>2</sub> O	۱.۴۳	۰.۲۱	۰.۱۲	۱.۰۷	۱.۲۳	۰.۵۷	۰.۵۶	۰.۵۳	۰.۶۶	۰.۶۹	۰.۹۶	۰.۷۵	۱.۴۲	
P <sub>2</sub> O <sub>5</sub>	۰.۲۸	۰.۳۵	۰.۴۱	۰.۲۰	۰.۱۹	۰.۲۵	۰.۱۹	۰.۲۸	۰.۱۹	۰.۳۲	۰.۱۶	۰.۲۶	۰.۱۴	۰.۳۷
LOI	۲.۱۳	۱.۸۲	۱.۷۸	۱.۱۵	۱.۱۳	۴.۷۷	۲.۷۸	۱.۷۵	۱.۵۸	۱.۱۴	۱.۹	۱.۸۳	۱.۱۷	۳.۹۰
Total	۹۹.۷۸	۹۹.۹۸	۹۹.۰۱	۹۹.۹۲	۹۸.۸۸	۹۸.۴۷	۹۹.۹۴	۹۹.۸۶	۹۹.۸۸	۹۹.۸	۹۹.۸۶	۹۹.۸۱	۹۹.۳۲	۹۹.۷۶
Ba (ppm)	۲۳۲	۱۱۷	۵۳	۲۲۲	۱۴۳	۳۴۸	۱۴	۱۸۲	۹۰	۱۵۶	۵۶	۱۱۸	۱۹۹۲	۸۰۹
Be	۰.۵	۱.۴	۱.۴	۰.۶	۰.۵	۰.۱	۰.۵	۰.۳	۰.۲	۰.۲	۰.۴	۰.۳	۰.۲	۲
Cd	۰.۲	۰.۳	۰.۴	۰.۲	۰.۲	۰.۱	۰.۳	۰.۲	۰.۳	۰.۱	۰.۲	۰.۲	۰.۱	۰.۱
Ce	۳۱	۹۱	۹۳	۲۴	۱۳	۲	۲۸	۳۲	۲۸	۲۸	۲۴	۳۱	۷	۱۲۹
Co	۴۳.۵	۲۲	۱۸.۴	۴۰.۹	۲۲.۷	۳۰.۳	۳۰.۳	۲۸	۳۱.۸	۴۶.۲	۳۹.۹	۳۸	۳۰	۱۵.۱
Cr	۲۴۲	۸۶	۵۷	۲۴۹	۵۴	۲۲۶	۱۶۸	۲۳۴	۲۰.۱	۱۸	۲۵۸	۳۴۰	۲۲۶	۴۷
Cs	۰.۴	۰.۳	۰.۳	۰.۳	۰.۴	۰.۲	۰.۲	۰.۲	۰.۲	۰.۴	۰.۴	۰.۴	۰.۴	۰.۴
Cu	۷۳	۳۴	۱۹	۷۵	۳۴	۴۲	۱۱	۱۴	۱۶	۴۹	۹	۹۲	۱۲	۸۹
Dy	۶.۸۷	۶.۷۱	۶.۵۶	۵.۰۸	۳.۱۴	۱.۱۳	۴.۰۱	۴.۷۷	۴.۲۶	۴.۲۷	۴.۹۱	۵.۰۹	۴.۲۲	۱۰.۰۶
Er	۳.۳۷	۳.۲۳	۳.۳۹	۲.۴۳	۱.۶۶	۰.۷	۲.۳۹	۲.۴۵	۲.۲۵	۲.۱۹	۲.۴۸	۲.۷۶	۲.۴۶	۵.۲۳
Eu	۲.۲۲	۲.۲۲	۲.۲۲	۱.۸۱	۰.۹۴	۰.۶۲	۱.۳۶	۱.۵۸	۱.۴۵	۱.۵۷	۱.۴۳	۱.۹۷	۲.۱۸	۳.۴۳
Gd	۵.۲۴	۶.۶۲	۶۲	۴.۲۲	۲.۳۵	۰.۹۳	۳.۹	۴	۳.۸۸	۳.۹۳	۳.۸۶	۴.۵۸	۲.۵	۹.۸۹
Hf	۲.۰۴	۴.۲	۴.۳۷	۲.۷۷	۱.۸۱	۱.۴۲	۲.۴۷	۲.۸۵	۲.۸۶	۱.۷۳	۱.۸۹	۲.۰۲	۱.۹۸	۳.۲۸
In	۰.۴	۰.۴	۰.۳	۰.۲	۰.۲	۰.۲	۰.۲	۰.۲	۰.۴	۰.۳	۰.۳	۰.۳	۰.۳	۰.۳
La	۱۶	۴۶	۴۷	۱۳	۸	۳	۱۴	۱۵	۱۴	۱۶	۱۳	۱۶	۴	۷۰
Li	۱۷	۳	۲	۳	۱	۳	۰.۹	۱	۳	۱	۰.۹	۰.۹	۰.۹	۶
Lu	۰.۴۱	۰.۳۹	۰.۴۸	۰.۲۶	۰.۲۲	۰.۲۳	۰.۲۲	۰.۲۳	۰.۲۲	۰.۲۸	۰.۲۳	۰.۲۵	۰.۲۵	۰.۷۳
Mo	۵	۲	۳	۰.۹	۲	۲	۲	۳	۱	۰.۰۹	۱	۲	۱	۲
Nb	۱۷.۴	۱۱.۹	۴۸.۸	۵۵	۸.۵	۴.۳	۱۵.۲	۱۴.۵	۹.۱	۱.۹	۱۶.۸	۱۸.۲	۵	۷۵.۸
Nd	۲۱.۸	۴۰.۳	۴۰.۳	۱۶.۲	۷.۸	۱.۴	۱۶.۵	۱۹.۲	۱۷.۵	۱۸.۵	۱۷.۲	۲۰.۳	۶۶	۶۴.۴
Ni	۱۱۲	۵۱	۴۸	۱۹۳	۴۳	۱۹۷	۸۵	۱۱۷	۸۴	۲۳	۱۱۲	۱۵۰	۱۰.۹	۳۹
Pb	۰.۸۷	۰.۹	۰.۸۳	۰.۹۳	۰.۹۴	۰.۹۴	۰.۹۴	۰.۹۴	۰.۹۶	۰.۹۶	۰.۹۵	۰.۹۱	۰.۹	
Pr	۵.۱۳	۱۱.۲۹	۱۱.۱۶	۴.۰۱	۲.۱۹	۰.۶۹	۴.۲۵	۴.۸۲	۴.۸۲	۴.۷۱	۴.۲۳	۵.۰۴	۱.۵۲	۱۸.۲
Rb	۱۶	۳	۱	۱۱	۱۳	۳۵	۰.۹۶	۱۱	۶	۹	۵	۱۲	۰.۹۶	۱۶
Sc	۳۲.۸	۱۳	۱۱.۲	۲۸.۶	۲۰.۷	۲۸.۵	۲۹.۳	۲۷.۷	۲۷	۳۳.۷	۳۰.۷	۳۳.۷	۲۶	۸.۹
Sm	۴.۹۸	۷.۱۶	۶.۶۹	۲.۷۲	۱.۳	۰.۳	۲.۴۵	۳.۸۲	۲.۲۴	۲.۴۸	۳.۸۱	۴.۴۲	۳.۳۷	۱۱.۴۳
Sn	۲.۱	۱.۵	۲۱	۰.۹	۰.۹	۰.۳	۱	۱.۱	۰.۸	۰.۰۹	۱	۱.۲	۰.۸	۲
Sr	۵۵۲	۲۲۹	۲۲۶	۲۴۷	۲۴۴	۴۷۲	۵۷۱	۴۳۷	۳۲۴	۴.۹	۴۳۶	۴.۰۱	۱۳۱	۶۶۴
Ta	۱.۱۲	۰.۶	۲.۷۸	۰.۳۸	۰.۵۶	۰.۳۷	۱.۱۲	۱.۱۱	۰.۶۵	۰.۲۷	۱.۳۱	۱.۱۷	۰.۵۳	۴.۴۱
Tb	۰.۹۱	۰.۹۶	۰.۹۴	۰.۷۳	۰.۴۲	۰.۱۸	۰.۶۴	۰.۶۶	۰.۶۳	۰.۶۳	۰.۶۹	۰.۷۸	۰.۵۱	۱.۴۱
Te	۰.۰۹	۰.۰۹	۰.۳۷	۰.۰۹	۰.۰۹	۰.۰۹	۰.۰۲	۰.۰۲	۰.۱۲	۰.۰۹	۰.۲۹	۰.۰۹	۰.۰۹	۰.۳۹
Th	۲.۰۲	۶.۲۸	۶.۱۶	۱.۶۴	۰.۸۶	۰.۲۹	۱.۳۸	۱.۴۸	۱.۳۷	۱.۸۱	۱.۷۷	۲.۰۶	۰.۳۹	۱.۰۷۱
Tm	۰.۴۲	۰.۴۳	۰.۴۲	۰.۳۲	۰.۲۹	۰.۰۹	۰.۲۳	۰.۲۱	۰.۳	۰.۳۱	۰.۳۶	۰.۳۶	۰.۳۶	۰.۷
U	۰.۲	۱.۴	۱.۳	۰.۴	۰.۳	۰.۱	۰.۳	۰.۳	۰.۴	۰.۳	۰.۵	۰.۱	۱.۴	
V	۲۷.۰	۱۴۰	۱۷۲	۱۶۶	۱۰۴	۱۳۷	۲۷۲	۲۶۹	۲۵۲	۲۵۱	۲۴۳	۲۵۱	۱۸۸	۷۵
W	۰.۹۷	۰.۹۷	۰.۹۷	۰.۹۷	۰.۹۷	۰.۹۷	۰.۹۷	۰.۹۷	۰.۹۷	۰.۹۷	۰.۹۷	۰.۹۷	۰.۹۷	-۰.۹۷
Y	۲۶.۴	۲۶.۷	۲۶.۲	۱۹.۶	۱۲.۸	۳.۹	۱۸.۱	۱۷.۱	۱۷.۹	۱۶.۸	۱۹.۱	۲۰.۶	۱۶.۴	۳۷.۸
Yb	۲۳	۲۹	۲۹	۲.۵	۱.۹	۰.۸	۲.۶	۲.۴	۲.۴	۲.۶	۲.۶	۲.۷	۲.۳	۳.۷
Zn	۱۰.۶	۱۲.۰	۶۲	۱۰.۰	۷۹	۳۵	۵۰	۴۸	۶۵	۸۴	۸۲	۷۷	۳۸	۹۷
Zr	۱۷	۱۱۹	۱۲۲	۲۲	۱۳	۶	۵۱	۶۷	۵۸	۱۱	۱۶	۱۸	۱۹	۶۰

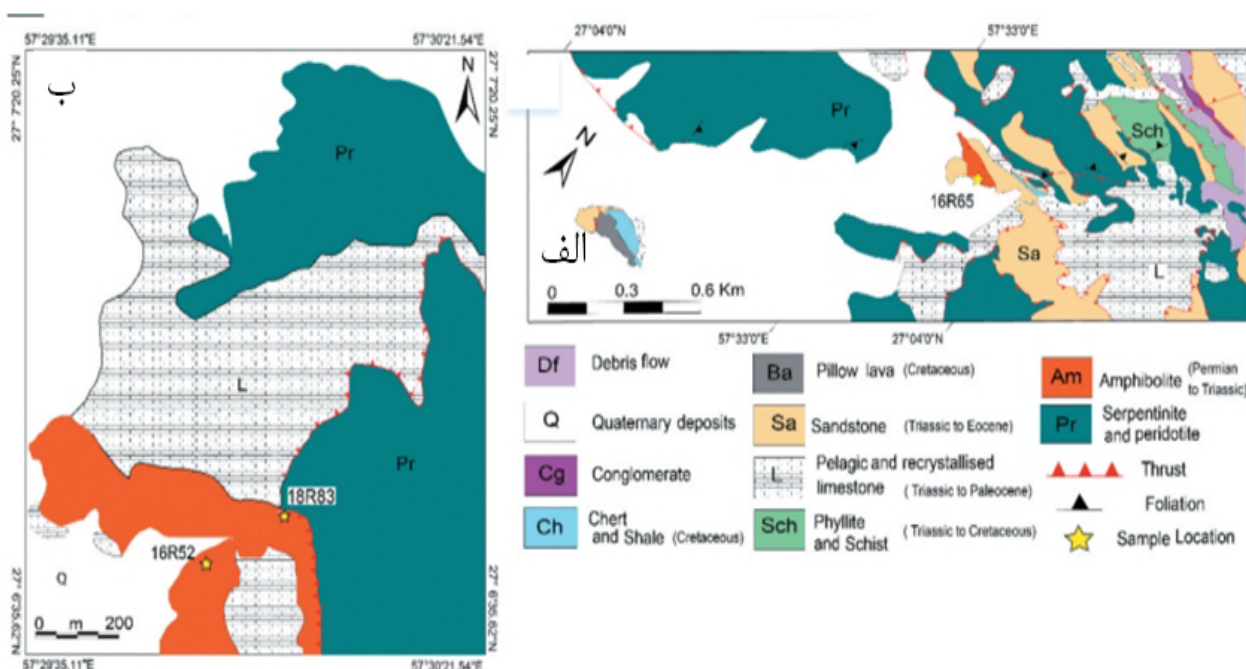
قابل مشاهده است (شکل ۴ الف). در این سنگ‌ها، آمفیبول و پلازیوکلاز بیشترین حجم سنگ را تشکیل می‌دهند. بافت میکروسکوپی متداول در این سنگ‌ها نخ دانه شکفتی است. آمفیبول‌ها نیمه شکل دار تا بی‌شکل (۶۰ تا ۷۰ درصد) و با چندرنگی سبز زیتونی تا سبز روشن به صورت کشیده در راستای شیستوارگی دیده می‌شوند. پلازیوکلازها (۳۰ تا ۴۰ درصد) به صورت نیمه شکل دار هستند و بیشتر به کانی‌های رسی و کلسیت دگرسان شده‌اند. کوارتز به صورت بی‌شکل به مقدار بسیار کم (کمتر از ۵ درصد) نیز دیده می‌شود.

**آمفیبولیت‌های تودهایی:** این سنگ‌ها در نمونه دستی به رنگ سبز تیره تا کاملاً تیره با بافت دانه‌ریز تا دانه درشت دیده می‌شوند. کانی‌های تشکیل‌دهنده این سنگ‌ها شامل آمفیبول، پلازیوکلاز، زیرکن، کوارتز، آپاتیت و اسفن هستند. جهت یافته‌گی ترجیحی در این سنگ‌ها دیده نمی‌شود. آمفیبول‌های موجود در این سنگ‌ها (۶۰ درصد) اغلب درشت دانه هستند (شکل ۴ ب). بافت میکروسکوپی متداول در این سنگ‌ها دانه شکفتی است، اما بافت خال خال نیز در آنها دیده می‌شود. پلازیوکلازهای نیمه شکل دار دگرسان شده به کانی‌های رسی و کلسیت ۳۰ درصد سنگ را تشکیل می‌دهند. کوارتز به مقدار کمتر از ۵ درصد به صورت بی‌شکل در این سنگ‌ها دیده می‌شود.

### ویژگی‌های صحرایی و سنگنگاری

آمفیبولیت‌های مورد بررسی به سن پرمین - تریاس [۸] در دورترین بخش جنوب آمیزه‌های افیولیتی مکران شمالی رخمنون یافته‌اند. این آمفیبولیت‌ها از شمال بر سرپنتینیت‌ها و سایر قطعه‌های آمیزه‌های افیولیتی رانده شده‌اند و از جنوب با رسوب‌های کواترنری هم مرز هستند (شکل ۲). رخمنون آمفیبولیت‌های مورد بررسی حدود بیش از چهار کیلومتر طول و یک کیلومتر عرض دارد. این سنگ‌ها دانه‌متوسط تا دانه-درشت با بافت دانه شکفتی و گاه جهت یافته هستند. در برخی مکان‌ها سنگ‌های آهکی دگرگونه (مرمر با ضخامت کمتر از ۱ متر) به صورت بین لایه‌ای با آمفیبولیت‌ها رخمنون دارند (شکل‌های ۲ و ۳). براساس کانی‌های شاخص دگرگونی، مجموعه سنگ‌های موجود شامل انواع آمفیبولیت‌های معمولی (جهت یافته و تودهایی)، گارنت-پیروکسن آمفیبولیت، اپیدوت-گارنت آمفیبولیت و مرمر هستند (شکل ۴).

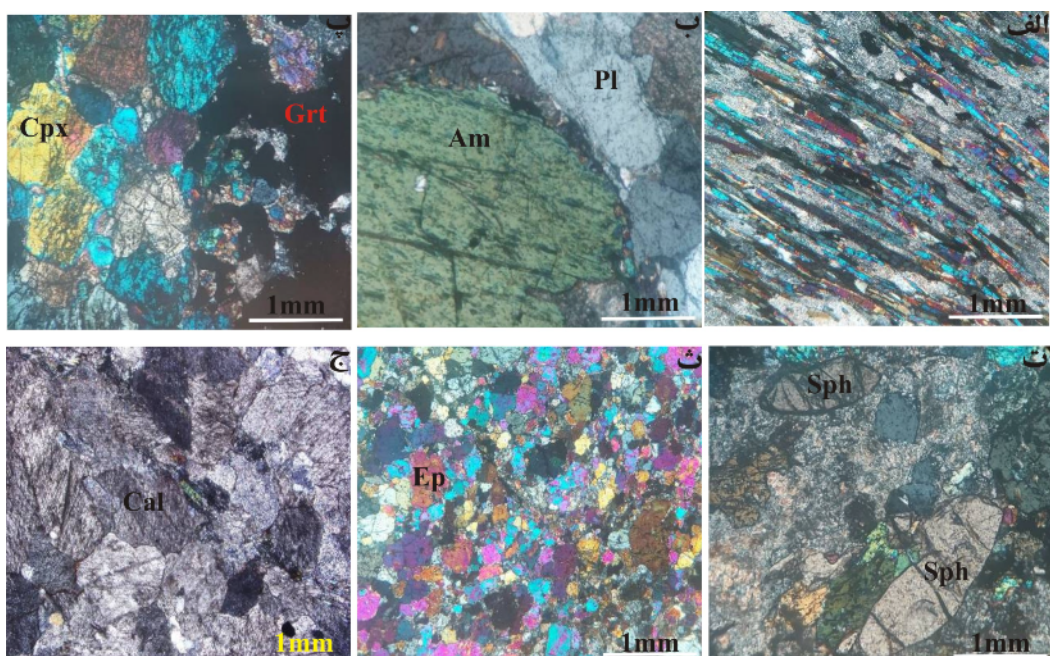
**آمفیبولیت‌های جهت یافته:** این سنگ‌ها به رنگ سبز تیره تا تیره و دارای برگوارگی با تنابوی از لایه‌های غنی از پلازیوکلاز و لایه‌های غنی از آمفیبول هستند. کانی‌های تشکیل‌دهنده این سنگ‌ها شامل آمفیبول، پلازیوکلاز، زیرکن، آپاتیت، کوارتز و اسفن هستند. جهت یافته‌گی ترجیحی در این سنگ‌ها به خوبی



شکل ۲ الف و ب) نقشه‌های ساده شده‌ای از منطقه مورد بررسی که واحدهای سنگی در منطقه را نشان می‌دهد [۸].



شکل ۳ (الف) رخمنون صحرایی آمفیبولیت‌ها با میان لایه‌هایی از مرمر، (ب) نمای نزدیکی از آمفیبولیت‌های درشت دانه در منطقه مورد بررسی، (پ) نمایی نزدیک‌تر از آمفیبولیت‌ها با میان لایه‌های مرمر، (ت) رخمنون صحرایی از آمفیبولیت‌ها.



شکل ۴ مقاطع میکروسکوپی آمفیبولیت‌ها: در نور قطبیده متقطع، (الف) آمفیبولیت تودهای و دانه‌ای، (پ) گارنت-پیروکسن آمفیبولیت، (ت) کانی فرعی اسفن در گارنت-پیروکسن آمفیبولیت، (ث) اپیدوت - گارنت آمفیبولیت، (ج) سنگ‌های آهکی دگرگون شده (مرمر) (مرمر): پیروکسن، Cpx: پلازیوکلاز، Am: گارنت، Ep: اسفن Sph: اپیدوت و Cal: کلسیت [۱۹].

نسبت به  $\text{TiO}_2$  [۲۱] و  $\text{MnO}$  نسبت به  $\text{TiO}_2$  [۲۲]، استفاده شد. بر این اساس، آمفیبولیت‌های مورد بررسی، سنگ مادر آذرین دارند یا به عبارتی، ارتو آمفیبولیت هستند (شکل‌های ۵الف، ب و پ). از جمله شواهد صحرایی می‌توان به حالت توده‌ای، همراهی با مجموعه افیولیتی، همبیری با پریدوتیت‌های سرپنتینی شده و نبود رخنمون‌های رسوبی در نزدیکی آنها اشاره نمود. از سوی دیگر، شواهد سنگنگاری چون نبود بیوتیت و بلورهای درشت کانی‌های کربناتی (کلسیت و آراغونیت)، ولاستونیت، نسبت بالای فلدسپارها به کوارتز و وجود کلینوپیروکسن بیانگر ماهیت ماقمایی و بازیک سنگ اولیه آمفیبولیت‌هاست. بر پایه بررسی‌های انجام شده [۲۳]، ارتوآمفیبولیت‌ها دارای آمفیبول، آلبیت، اپیدوت (زویزیت)، کلریت، کوارتز، اسفن، ایلمنیت و مگنتیت و پارآمفیبولیت‌ها دارای ارتوآمفیبول، آلبیت (با مقدار بیشتر از ارتوآمفیبولیت‌ها)، بیوتیت، کوارتز، کلسیت یا آراغونیت هستند. نمودار تغییرات بیوتیت، کوارتز، کلسیت یا آراغونیت در این سنگ‌ها یافت می‌شود (شکل ۵ت).

نمودارهای سری ماقمایی و نمودارهای تغییرات عناصر اصلی و فرعی نسبت به  $\text{MgO}$  در شکل‌های ۶ و ۷ آورده شده است. بر اساس آن‌ها، ماقمایی مادر آمفیبولیت‌های منطقه موردنیزی بیشتر از یک نوع سری ماقمایی است. اکسید  $\text{Fe}_2\text{O}_3$  بررسی بیشتر از یک نوع سری ماقمایی است. اکسید  $\text{MnO}$  روند مشخصی را نشان نمی‌دهد، به طوری که برخی از نمونه‌ها بیشتر از یک نیز روند نزولی دارند.  $\text{K}_2\text{O}$  یک سازنده‌ی روند صعودی و برخی نیز روند نزولی دارند. اکسید  $\text{Na}_2\text{O}$  بسیار متحرك است و از طرفی روند نزولی  $\text{K}_2\text{O}$  می‌تواند بیانگر حضور این عنصر در ترکیب کانی فلدسپار پتساسیم‌دار در مراحل نهایی تبلور ماقما باشد. اکسید  $\text{MnO}$  نیز روند مشخصی را نشان نمی‌دهد؛ در واقع، با افزایش  $\text{MgO}$ ، باید اکسیدهای  $\text{Fe}_2\text{O}_3$  و  $\text{MnO}$  روند صعودی داشته باشند، ولی از آنجاکه تغییرات آنها نامنظم است، به احتمال بسیار عوامل دیگری چون تبلور جدایشی، فرآیندهای دگرسانی و دگرگونی موثر بوده‌اند. با افزایش مقدار  $\text{MgO}$ ، روند نزولی برای اکسید  $\text{Na}_2\text{O}$  دیده می‌شود که کاهش  $\text{Na}_2\text{O}$  در نتیجه تبلور پلازیوکلаз سدیم‌دار (آلبیت) است. روند  $\text{P}_2\text{O}_5$  نسبت به  $\text{MgO}$  نزولی است. این امر به جدایش کانی آپاتیت در مراحل ابتدایی جدایش نسبت داده

**گارنت-پیروکسن آمفیبولیت:** این سنگ‌ها در نمونه دستی به رنگ سبز روشن تا سبز تیره و دارای بافت دانه‌بریز تا دانه‌درشت هستند. اندازه کانی گارنت در برخی از این سنگ‌ها به چند میلیمتر می‌رسد. بافت اصلی سنگ دانه شکفتی و پوروفیری دانه شکفتی است به طوری که در برخی نمونه‌ها، کانی گارنت به صورت شکفته بلور دیده می‌شود. کانی‌های تشکیل دهنده این سنگ‌ها شامل گارنت، پیروکسن، آمفیبول، پلازیوکلاز، زیرکن، کوارتز، آپاتیت و اسفن هستند (شکل ۴پ). گارنت‌های موجود در این سنگ‌ها شکل هندسی چندان منظمی ندارند و بیش از ۲۰ درصد سنگ را تشکیل می‌دهند. پیروکسن‌ها از نوع کلینوپیروکسن (حدود ۱۰ درصد) بوده و به صورت بی شکل تا نیمه شکل دار هستند. آمفیبول‌ها به رنگ سبز ۳۵ درصد سنگ را شامل می‌شوند. پلازیوکلازها به صورت نیمه شکل دار ۳۰ درصد سنگ را تشکیل می‌دهند. اسفن به صورت نیمه شکل دار تا شکل دار (حدود ۵ درصد) در این سنگ‌ها یافت می‌شود (شکل ۴ت).

**اپیدوت-گارنت آمفیبولیت:** این سنگ‌ها به دلیل مقدار بالای اپیدوت (۲۵ درصد) به رنگ سبز روشن دیده می‌شوند. کانی‌های تشکیل دهنده این سنگ‌ها آمفیبول، پلازیوکلاز، اپیدوت، گارنت، پیروکسن، کوارتز و به مقدار کمتر کانی‌های کدر هستند (شکل ۴ث). آمفیبول‌ها به رنگ سبز و بی شکل ۱۵ درصد سنگ را تشکیل می‌دهند. پلازیوکلازها (۳۰ درصد) به صورت نیمه شکل دار هستند و بیشتر به کانی‌های رسی و کلسیت دگرسان شده‌اند. اپیدوت به صورت ریزدانه تا متوسط دانه، بی شکل تا نیمه شکل دار با برجستگی بالا و رنگ سبز پسته‌ای دیده می‌شود. گارنت‌های موجود در این سنگ‌ها ۲۵ درصد) با اندازه‌های متغیر و بیشتر بدون شکل هندسی منظم هستند. پیروکسن‌ها از نوع کلینوپیروکسن کمتر از ۵ درصد سنگ را شامل می‌شوند.

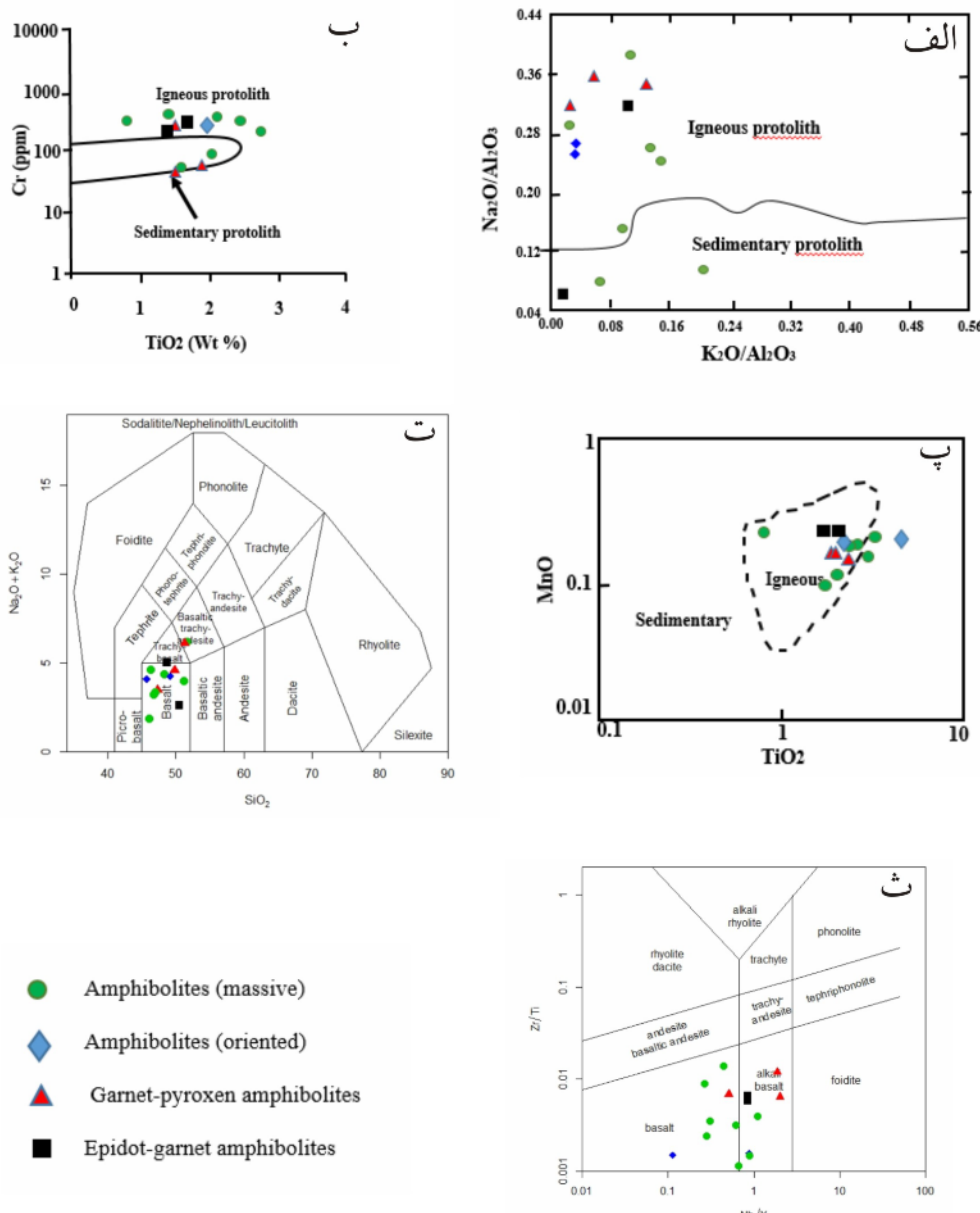
**مرمر:** این سنگ‌های آهکی دگرگون شده بیشتر دارای کلسیت (حدود ۹۰ درصد) با رخ مشخص، کوارتز (کمتر از ۵ درصد) و آمفیبول به رنگ سبز روشن (کمتر از ۵ درصد) هستند (شکل ۴ج).

### زمین شیمی

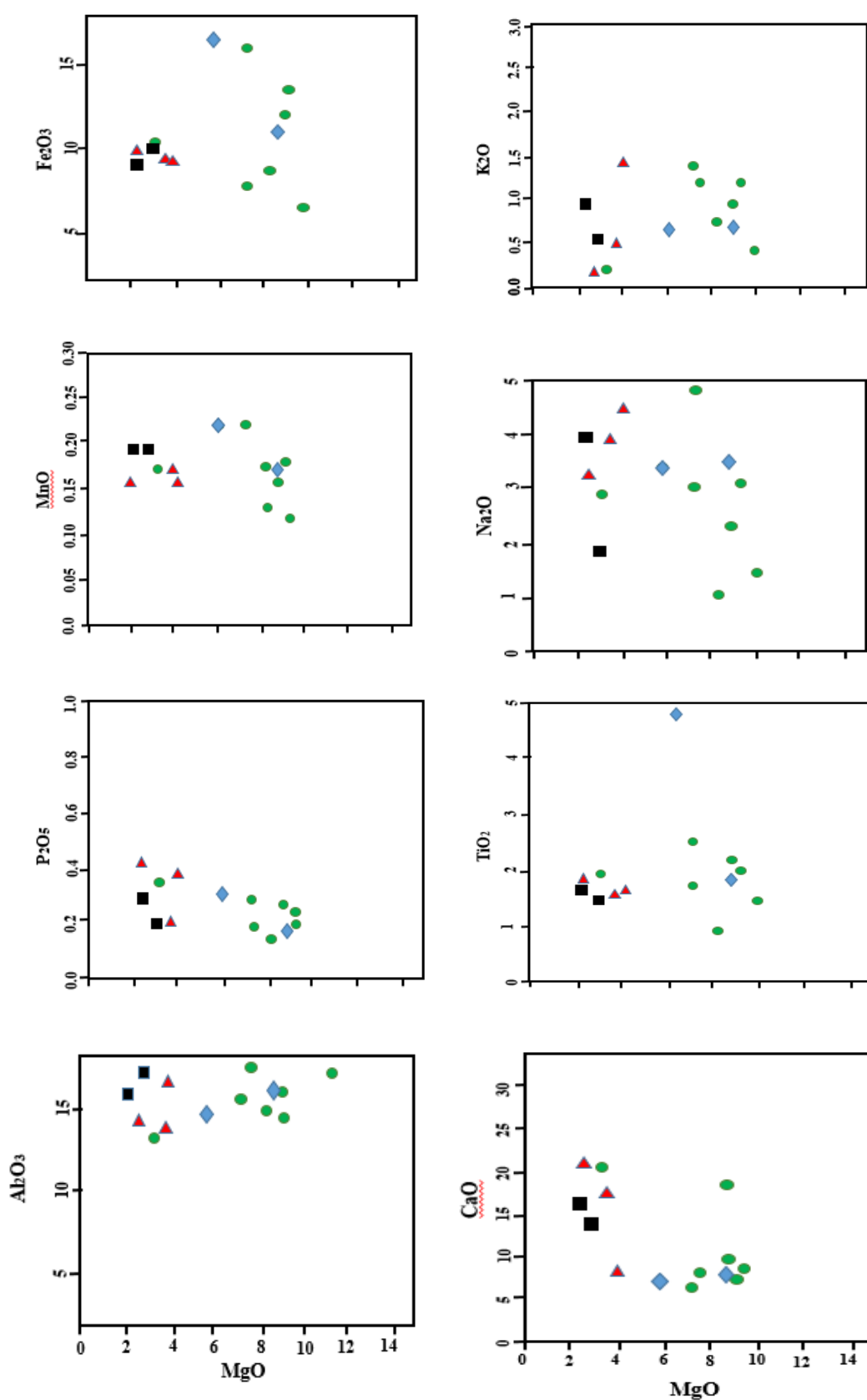
بر اساس داده‌های تجزیه شیمی سنگ کل (جدول ۱)، برای تعیین سنگ مادر آمفیبولیت‌های منطقه موردنیزی از  $\text{Cr}/\text{K}_2\text{O}/\text{Al}_2\text{O}_3$  نسبت به  $\text{Na}_2\text{O}/\text{Al}_2\text{O}_3$  [۲۰]

عنصر در ترکیب انواع پلاژیوکلازهای آلبیتی در مراحل پایانی تبلور باشد. کاهش  $\text{CaO}$  نیز می‌تواند در نتیجه‌ی حضور آن در تبلور پلاژیوکلازهای کلسیمی‌تر در مراحل اولیه‌ی تبلور و کاهش آن با پیشرفت تبلور جدایشی باشد، به عبارت دیگر می‌تواند به دلیل تغییر ترکیب پلاژیوکلازها از قطب آنورتیت به قطب‌هایی با کلسیم پایین‌تر چون آلبیت در مراحل پایانی تبلور باشد (شکل ۶).

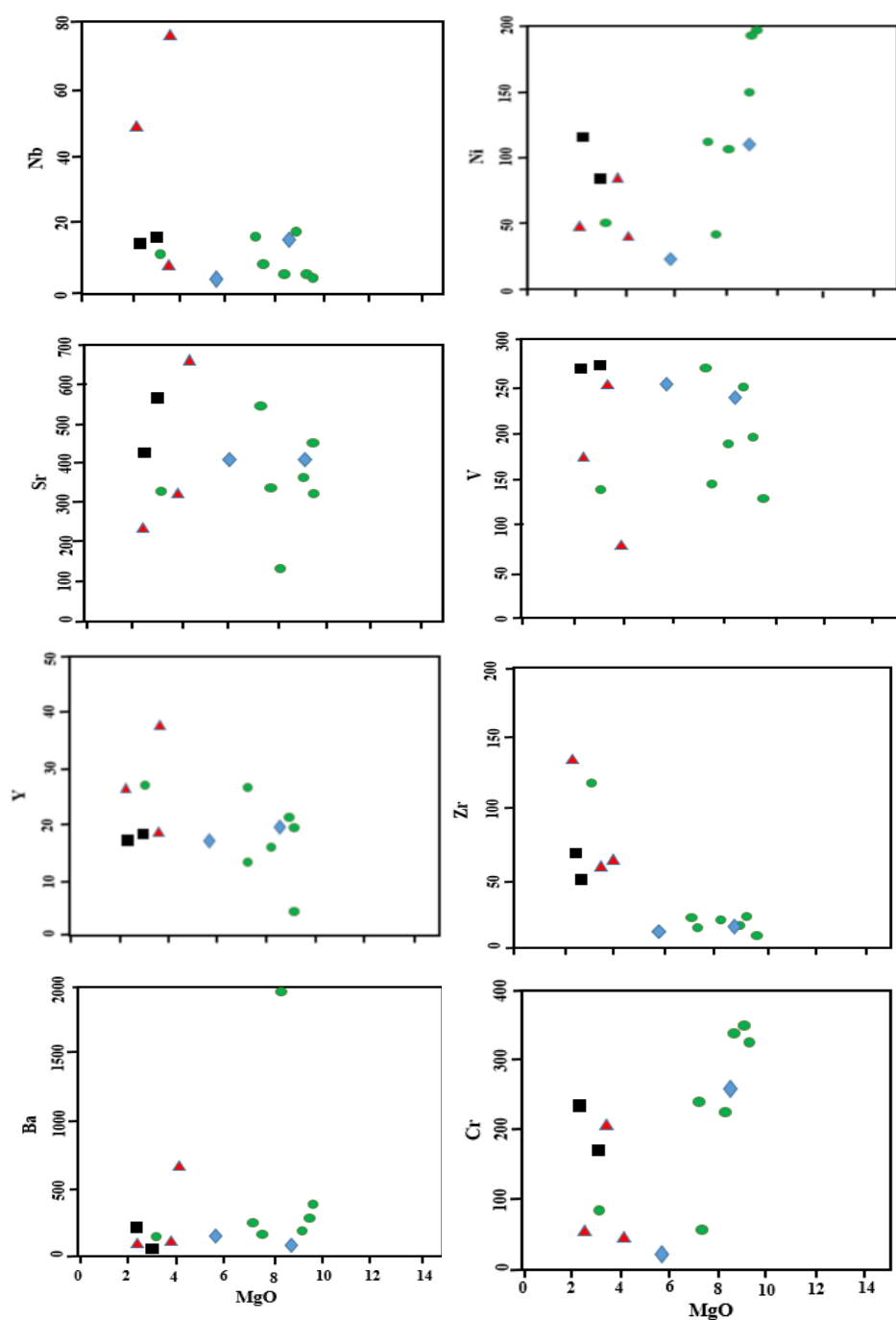
می‌شود. اکسید  $\text{TiO}_2$  نیز روندی نزولی دارد که می‌تواند به علت جایگیری آن در ساختار کانی‌های فرومیزین در مراحل اولیه تبلور جدایشی ماگما باشد. همچنین کاهش  $\text{TiO}_2$  نیز می‌تواند به دلیل حضور کانی تیتانیت (اسفن) باشد. تیتانیوم در سنگ‌های آذرین بیشتر به صورت ایلمنیت ظاهر شده و این عنصر می‌تواند جایگزین آلومینیوم با عدد هم آرایی شش شده و در ساختار هورنبلند و بیوتیت، نیز ظاهر گردد. روند تغییرات  $\text{Al}_2\text{O}_3$  نیز تقریباً صعودی است که می‌تواند به دلیل حضور این



شکل ۵ (الف) نمودار  $\text{Na}_2\text{O}/\text{Al}_2\text{O}_3$  نسبت به  $\text{K}_2\text{O}/\text{Al}_2\text{O}_3$  [۲۰] و (ب) نمودار  $\text{MnO}$  نسبت به  $\text{TiO}_2$  [۲۱] و (پ) نمودار  $\text{Cr}$  نسبت به  $\text{TiO}_2$  [۲۲] برای تعیین نوع سنگ مادر آمفیبولیت‌های مورد بررسی. (ت) نمودار تغییرات  $\text{SiO}_2/\text{Na}_2\text{O} + \text{K}_2\text{O}$  نسبت به  $\text{Zr}/\text{Ti}$  [۲۴] و (ث)  $\text{Nb}/\text{Y}$  نسبت به  $\text{Zr}/\text{Ti}$  [۲۵] برای تعیین ترکیب سنگ مادر نمونه‌های مورد بررسی.



شکل ۶ نمودارهای تغییرات اکسیدهای عناصر اصلی نسبت به MgO برای آمفیبولیت‌های مورد بررسی. نشانه‌ها مشابه شکل ۵ هستند.



شکل ۷ نمودارهای تغییرات عناصر فرعی نسبت به  $MgO$  برای آمفیبولیت‌های منطقه مورد بررسی. نشانه‌ها مشابه شکل ۵ هستند.

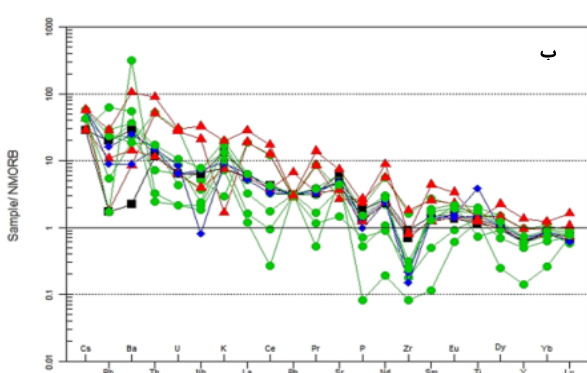
هستند و با شعاع یونی حدواتسط جانشین آهن و منیزیم می-شوند، در مراحل اولیه جدایش فراوان هستند و سپس با تبلور کانی‌های فرومیزین از مقدار آنها کاسته می‌شود. به این ترتیب، نسبت  $Ni/Mg$  در بلورهایی که در ابتدای جدایش ماقمایی تشکیل می‌شوند، بیشینه است و در کانی‌ها و سنگ‌هایی که سپس تشکیل می‌شوند، کاهش می‌یابد. عنصر  $Sr$  با افزایش

بررسی تغییرات عناصر فرعی نسبت به  $MgO$  (شکل ۷) نشان می‌دهد که  $Nb$  روندی نزولی دارد که می‌تواند به دلیل وجود احتمالی آن در ساختار آمفیبول و یا جایگزینی این عنصر با  $Ti$  در ساختار کانی‌هایی چون تیتانیت، روتیل، آمفیبول و گاهی آپاتیت باشد [۲۶]. عناصر  $Ni$  و  $V$  با افزایش  $MgO$  روندی صعودی دارند. از آنجا که این عناصر از فلزات غیر متحرک

گارنت به عنوان فاز باقی مانده در خاستگاه گوشه‌ای است [۳۰]. تغییرات عناصر کمیاب بهنجار شده به NMORB [۳۱] نیز بیانگر غنی شدگی عناصر سنگ دوست بزرگ یون (LILE) است و بیشتر نسبت به عناصر با شدت میدان بالا (HFSE) است. نمونه‌ها تقریباً از نظر ویژگی‌های زمین شیمیایی شبیه بازالت‌های درون صفحه‌ای هستند (شکل ۸ ب).

#### موقعیت زمین ساختی

براساس نمودار  $Zr/TiO_2$  نسبت به  $Y/TiO_2$  [۳۲]، مagma خاستگاه سنگ مادر آمفیبولیت‌های مورد بررسی دارای ماهیت تولیتی تا انتقالی است (شکل ۹ الف). همچنین برپایه نمودار مثلثی جداگانه بازالت‌های اقیانوسی از قاره‌ای [۳۳]، جایگاه بیشتر نمونه‌های آمفیبولیتی مورد بررسی از نوع بازالت‌های اقیانوسی است (شکل ۹ ب). نمودارهای تفکیک محیط زمین‌ساختی magma به صورت نمودارهای تغییرات زمین شیمیایی هستند که در آن magmaهای تولید شده در جایگاه‌های متفاوت زمین ساختی را می‌توان براساس ویژگی‌های زمین شیمیایی از هم تفکیک کرد [۳۴، ۳۵]. نمودارهای تفکیک کننده براساس عناصر کمیاب نسبت به نمودارهای براساس عناصر اصلی برای تعیین محیط زمین ساختی مجموعه‌ای از بازالت‌ها اعتبار بیشتری دارند، چرا که نمودارهای تفکیک کننده براساس عناصر اصلی همپوشی گسترهای در شیمی عناصر اصلی بازالت‌های پشت‌های میان اقیانوسی، بازالت‌های کمان‌های آتشفسانی و تولیت‌های حوضه پشت کمان دارند [۳۵].

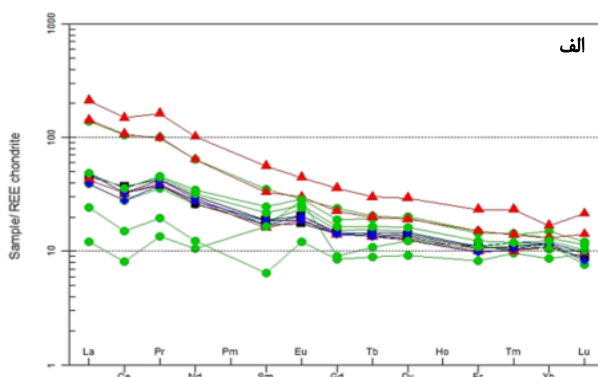


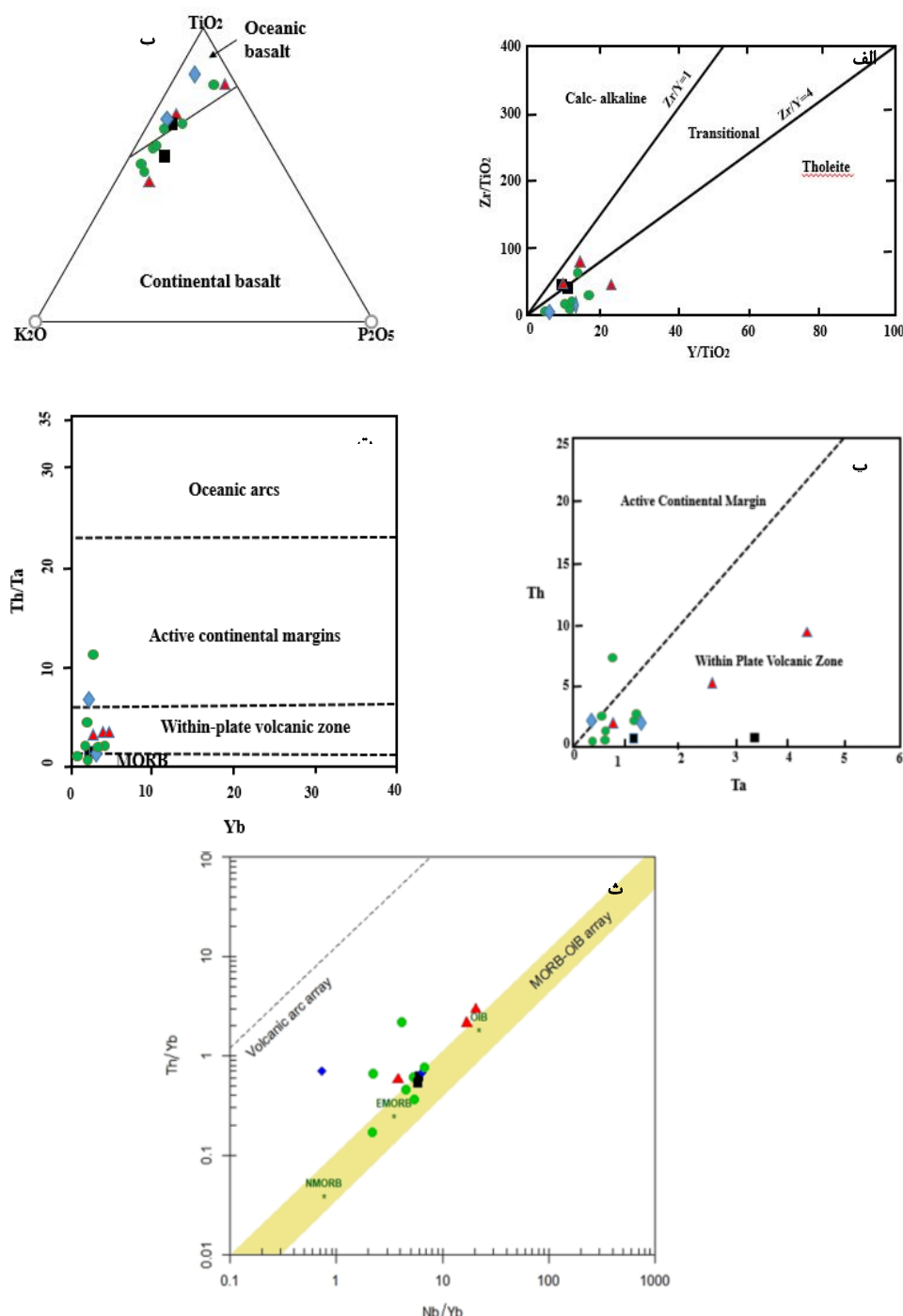
شکل ۸ ب) نمودارهای تغییرات عناصر خاکی‌نادر و کمیاب بهنجار شده به (الف) کندریت [۲۷] و ب) NMORB [۳۱] برای آمفیبولیت‌های مورد بررسی. نشانه‌ها مشابه شکل ۵ هستند.

$MgO$  روندی نزولی دارد. البته در حالت کلی،  $Sr$  عنصری ناسازگار و متحرک است و با کاهش مقدار  $MgO$  روندی افزایشی دارد که بیانگر افزایش غلظت آن در مراحل پایانی تبلور است. عنصر  $Ba$  نیز روندی صعودی دارد. از آنجا که عنصر  $Cr$  با افزایش  $MgO$  روندی صعودی دارد. از آنجا که از فلزات واسط و غیر متحرک است و با شعاع یونی حدواسط جانشین آهن و منیزیم می‌شود، در مراحل اولیه جدایش فراوان است و سپس با تبلور کانی‌های فرومیزین از مقدار آن کاسته می‌شود (شکل ۷).

#### شیمی عناصر خاکی‌نادر و کمیاب

با توجه به نمودار تغییرات عناصر خاکی‌نادر بهنجار شده به کندریت [۲۷]، نمونه‌های آمفیبولیتی مورد بررسی دارای الگوی (LREE) به نسبت مشابه هستند و عناصر خاکی‌نادر سبک (HREE) نسبت به عناصر خاکی‌نادر سنگین (HREE) غنی‌شدگی نشان می‌دهند که بیانگر الگوهای بازالت‌های غنی‌شدگی نزدیک پشت‌های میان اقیانوسی هستند [۲۶]. در برخی از نمونه‌های مورد بررسی، ناهنجاری مثبت  $Eu$  به دلیل وجود پلاژیوکلاز بیشتر در این نمونه‌ها نسبت به نمونه‌های دیگر دیده می‌شود (شکل ۸ ب-۲۸). غنی‌شدگی زیاد عناصر خاکی‌نادر سبک به ویژه  $La$  و  $Nb$ ، به احتمال بسیار می‌تواند به دلیل جدایش بلوری و در اثر کلینوپیروکسن‌های انباشته‌ای در سنگ مادر بازالتی و یا بیانگر آمفیبول‌های انباشته‌ای یا حتی حضور تیتانیت طی دگرگونی باشد [۳۰]. همچنین تهی‌شدگی عناصر خاکی‌نادر سنگین چون  $Yb$  به احتمال بسیار به دلیل وجود





شکل ۹ (الف) نمودار  $Zr/TiO_2$  نسبت به  $Y/TiO_2$  [۳۲] برای تعیین سری مادر آمفیبولیت‌های مورد بررسی، (ب) نمودار سه تایی  $(TiO_2-K_2O-P_2O_5)$  [۳۳] برای تعیین خاستگاه بازالت‌ها، (پ) نمودار  $Th/Ta$  نسبت به  $Yb$  [۳۴]، (ت) نمودار  $Th$  نسبت به  $Ta$  [۳۵] برای تفکیک بازالت‌ها که براساس آن، بیشتر نمونه‌های آمفیبولیتی در گستره بازالت‌های مورب و مناطق آتشفشانی درون صفحه‌ای قرار دارند [۳۶]، (ث) نمودار  $Th/Yb$  نسبت به  $Nb/Yb$  [۳۷] و قرارگیری بیشتر نمونه‌ها در گستره‌ی EMORB، نشانه‌ها مشابه شکل ۵ هستند.

دو تایی  $Th$  نسبت به  $Ta$  [۳۴]، نمونه‌های آمفیبولیتی منطقه مورد بررسی در گستره‌ی زمین‌ساختی درون صفحه‌ای قرار دارند (شکل ۹ پ). همچنین براساس نمودار  $Th/Ta$  نسبت به

از این رو، برای تفکیک محیط زمین‌ساختی تشکیل سنگ مادر آمفیبولیت‌های مجموعه برافراشی مکران از نمودارهای براساس عناصر کمیاب استفاده شد. بر پایه نمودار تفکیک کننده‌ی

- [4] Bucher K., Frey M., "Petrogenesis of Metamorphic Rocks (6th edn)", Springer Verlag: Berlin, (1994), 318p.
- [5] Pearce J. A., "Statistical Analysis of Major Element Patterns in Basalts", Journal of Petrology, 17 (1), (1976) 15-43.
- [6] Farahat E. S., "Geotectonic significance of Neoproterozoic amphibolites from the Central Eastern Desert of Egypt: A possible dismembered sub-ophiolitic metamorphic sole", Lithos, 125 (1), (2011) 781-794.
- [7] McCall G.J.H., "A summary of the geology of the Iranian Makran: Tectonic and Climatic Evolution of the Arabian Sea Region", Geological Society of London, 195, (2002) 147-204.
- [8] Esmaeili R., Ao, S., Shafaii Moghadam H., Zhang Z., Griffin W. L., Ebrahimi M., Bhandari S., "Amphibolites from makran accretionary complex record Permian-Triassic Neo-Tethyan evolution", International Geology Review, (2021) 1-17.
- [9] Dolati A., "Stratigraphy, structural geology and low-temperature thermochronology across the Makran accretionary wedge in Iran", Diss ETH, No. 19151, (2010) 215p.
- [10] Moghadam H.S., Stern R.J., "Ophiolites of Iran: Keys to understanding the tectonic evolution of SW Asia: (II) Mesozoic ophiolites", Journal of Asian Earth Sciences, 100, (2015) 31-59.
- [11] McCall G., Kidd R., "The Makran, Southeastern Iran: the anatomy of a convergent plate margin active from Cretaceous to Present", Geological Society, London, Special Publications, 10(1), (1982) 387-397.
- [12] Esmaeili R., Xiao W., Griffin W. L., Moghadam H. S., Zhang Z., Ebrahimi M., Bhandari S., "Reconstructing the source and growth of the Makran accretionary complex: Constraints from detrital zircon U-Pb geochronology", Tectonics, 39(2), (2020), e2019TC005963.
- [13] Burg J.P., "Geology of the onshore Makran accretionary wedge: Synthesis and tectonic interpretation", Earth-Science Reviews, 185, (2018) 1210-1231.
- [14] McCall G., "A summary of the geology of the Iranian Makran", Geological Society, London, Special Publications, 195(1), (2002) 147-204.
- [15] Hunziker D., "Magmatic and Metamorphic History of the North Makran Ophiolites and Blueschists (SE Iran): Influence of  $Fe^{3+}/Fe^{2+}$  Ratios in Blueschist Facies Minerals on

Yb [۳۶]، نمونه‌های مورد بررسی در گستره‌ی مورب و مناطق آتشقشانی درون صفحه‌ای واقع هستند (شکل ۹ ت). در نمودار  $Nb/Yb$  نسبت به  $Th/Yb$  [۳۷]، نیز نمونه‌های مورد بررسی در گستره‌ی بازالت پشت‌های میان اقیانوسی نوع مورب غنی شده (EMORB) جایابی شده‌اند (شکل ۹ ث).

#### برداشت

مجموعه برافزایشی مکران براساس بررسی‌های صحرایی و میکروسکوپی شامل انواع آمفیبولیت‌های معمولی (جهت یافته و توده‌ای)، گارنت-پیروکسن آمفیبولیت، اپیدوت-گارنت آمفیبولیت و سنگ آهک دگرگون شده (مرمر) است. با توجه به نمودار تغییرات عناصر خاکی نادر بهنجار شده به کندریت و NMORB نمونه‌های آمفیبولیتی مورد بررسی دارای الگوی به نسبت مشابه بوده و به طور کلی دارای غنی‌شدگی عناصر خاکی نادر سبک (LREE) نسبت به عناصر خاکی نادر سنگین (HREE) و همچنین در بعضی از نمونه‌ها دارای ناهنجاری مثبت Eu هستند. زمین شیمی آمفیبولیت‌ها نشان می‌دهد که این سنگ‌ها دارای خاستگاه آذربین با ترکیب بازالتی از نوع اقیانوسی هستند که از یک گوشته‌ی غنی شده شکل گرفته‌اند. همچنین آنها دارای سری تولئیتی تا انتقالی و از نظر ویژگی‌های زمین‌شیمیایی شبیه بازالت‌های مورب و مناطق آتشقشانی درون صفحه‌ی اقیانوسی هستند.

#### قدرتانی

بدین وسیله نگارندگان از حمایت‌های مالی معاونت پژوهش و فناوری دانشگاه لرستان و داوران محترم مجله برای ارائه نظرات سازنده، قدردانی می‌کنند.

#### مراجع

- [1] Coutinho J., Kräutner H., Sassi F., Schmid R., Sen S., "Amphibolite and Granulite", Recommendations by the IUGS Subcommission on the Systematics of Metamorphic Rocks: Web version, (2007), 1-12.
- [2] Matthes S., Kramer A., Die Amphibolite und Hornblendegneise im mittleren Vor Spessart und ihre petrogenetische Stellung, Neues Jahrbuch für Mineralogie (Journal of Mineralogy and Geochemistry), 88, (1955) 225-272.
- [3] Oen I.S., "Hornblendic rocks and their polymetamorphic derivatives in area NW of Ivigtut, south Greenland. Meddedel", Groenland, 6, (1962) 169-184.

- and rhyodacitic rocks from Lake Tana and the Gimjabet-Kosober areas (North Center Ethiopia)", Journal of African Earth Science, 26, (1998) 119-134.*
- [29] Ying J., Zhang H., Sun M., Tang Y., Zhou X., Liu X., "Petrology and geochemistry of Zijinshan alkaline intrusive complex in Shanxi Province, Western North China Craton: implication for magma mixing of different Source in anextensional regime", *Lithos*, 01566, (2007) 1-22.
- [30] Rolinson H., "Using geochemical data: evaluation, presentation, interpretation", Longman, (1993).
- [31] Sun S., McDonough W., "Chemical and isotopic systematics of oceanic basalts: Implications for mantle composition and processes", Geological society, London, Special Publications, 42, (1989) 313-345.
- [32] Barrett T.J., MacLean W.H., "Volcanic sequences, lithogeochemistry, and hydrothermal alteration in some bimodal volcanic-associated massive sulfide systems, in Volcanic Associated Massive Sulfide Deposits: Processes and Examples in Modern and Ancient Environments", (eds.) C.T. Barrie and M.D. Hannington; Society of Economic Geologists, Reviews in Economic Geology, 8, (1999) 101- 131.
- [33] Pearce T.H., Groman B.E., Birkett T.C., "The  $TiO_2$ - $K_2O$ - $P_2O_5$  diagram: a method of discriminating between oceanic and non-oceanic basalts", *Earth and Planetary Science Letters*, 24, (1975) 419-426.
- [34] Pearce J.A., Cann J.R., "Tectonic setting of basic volcanic rocks determined using trace tectonic setting in VMS environments", *Economic Geology*, 97(3), (2002) 629- 642.
- [35] Perfit M.R., Gust D.A., Bence A.E., Arculus R. J., Taylor S. R., "Chemical characteristics of island arc basalts: Implications for mantle sources", *Chemical Geology*, 30, (1980) 227-256.
- [36] Schandi E.S., Gorton M.P., "Application of high; eld strength elements to discriminate tectonic settings in VMS environments", *Economic Geology*, 97(3), (2002) 629-642.
- [37] Pearce J.A. "Geochemical fingerprinting of oceanic basalts with applications to ophiolite classification and the search for Archean oceanic crust", *Lithos*, 1001-4, (2008) 14-48.
- Geothermobarometric Calculations", ETH Zurich, Switzerland, Zürich (ETH-Zürich 364 pp), (2014).*
- [16] McCall G.J.H., "The geotectonic history of the Makran and adjacent areas of southern Iran". *Journal of Asian Earth Sciences*, 15 (6), (1997) 517-531.
- [17] McCall G., Kidd R., "The Makran, Southeastern Iran: the anatomy of a convergent plate margin active from Cretaceous to Present", Geological Society, London, Special Publications, 10(1), (1982) 387-397.
- [18] McCall G.J.H., "Mélanges of the Makran, southeastern Iran", In: McCall, G.J.H. (Ed.), Ophiolitic and Related Mélanges, Hutchinson Ross Publishing Company, Stroudsburg, Pennsylvania, (1983), 292-299.
- [19] Kretz R., "Symbols for rock-forming minerals", *American Mineralogist*, 68, (1983) 277-279.
- [20] Garrels R.M., Mckenzie F.T., "Evolution of Sedimentary Rocks", W.W. Norton New York, NY (1971).
- [21] Leake B. E., "The chemical distinction between ortho and para-amphibolites", *Journal of Petrology*, 5, (1964) 238-254.
- [22] Misra S.N., "Chemical distinction of high grade ortho- and para-metabasite", *Norsk Geologisk Tidsskrift*, 51, (1971) 311-316.
- [23] Winter C., "An Introduction to Igneous and Metamorphic Petrology", Prentice Hall, 697 pp, (2001).
- [24] Middlemost E. A. K., "Naming materials in the magmatic rock system", *Earth Science Reviews*, 37, (1994) 215-224.
- [25] Pearce J. A., "A users guide to basalt discrimination diagrams. In: Wyman, D. A. (eds) Trace Element Geochemistry of Volcanic Rocks: Applications for Massive Sulphide Exploration", Geological Association of Canada, Short Course Notes, 12, (1996) 79-113.
- [26] Wilson M., "Igneous Petrogenesis: A global tectonic approach", Springer, Dordrecht, (1989), 466p.
- [27] Nakamura N., "Determination of REE, Ba, Mg, Na and K in carbonaceous and ordinary chondrites", *Geochimica et Cosmochimica Acta*, 38, (1974) 757e775.
- [28] Abate B., Koeberl K., Buchanan P. C., Korner W., "Petrography and geochemistry of basaltic